

Лекция 2.

ПОЛЯРИЗАЦИОННАЯ ХАРАКТЕРИСТИКА, МАГНИТНЫЙ ДИПОЛЬ, ТУРНИКЕТНАЯ АНТЕННА, ЭЛЕМЕНТАРНЫЙ ИСТОЧНИК ОДНОНАПРАВЛЕННОГО ИЗЛУЧЕНИЯ - ЭЛЕМЕНТ ГЮЙГЕНСА

2.1. Различные выражения поляризационных характеристик

Разберёмся более подробно с поляризационными характеристиками. В формуле (1-13) поляризационный множитель полей излучения представлен в виде разложения комплексной амплитуды по ортам сферической системы координат. Ограничимся рассмотрением поляризационной характеристики электрического поля, поскольку из соотношений (1-5) следует, что поляризационная характеристика магнитного поля отличается от характеристики электрического поля только поворотом на 90° против часовой стрелки, если смотреть в сторону бесконечности.

Разложение комплексных амплитуд по ортогональному базису однозначно связано с годографом вещественного электрического вектора в плоскости, натянутой на векторы \mathbf{e}_φ и \mathbf{e}_ϑ . Годограф - это кривая, представляющая собой геометрическое место концов вектора \mathbf{E} , значения которого в разные моменты времени отложены от общего начала. Функции декартовых составляющих вектора электрического поля от времени обозначим $e_\varphi(t)$, $e_\vartheta(t)$. Для них справедливы зависимости:

$$\begin{aligned}\tilde{E}_\varphi(t) &= \sqrt{2} \operatorname{Re}(E_\varphi e^{i\omega t}) = \sqrt{2} |E_\varphi| \cos(\alpha_\varphi + \omega t) \\ \tilde{E}_\vartheta(t) &= \sqrt{2} \operatorname{Re}(E_\vartheta e^{i\omega t}) = \sqrt{2} |E_\vartheta| \cos(\alpha_\vartheta + \omega t)\end{aligned}\quad (2-1)$$

Модули и аргументы комплексных амплитуд определяют, соответственно, величину и начальную фазу составляющих вещественного электрического вектора. Коэффициент $\sqrt{2}$ добавлен из условия нормировки усреднённой мощности по периоду колебаний T :

$$\frac{1}{T} \int_0^T (\sqrt{2} \cos(\alpha + \omega t))^2 dt = 1.$$

Любой двумерный вещественный вектор может быть представлен комплексным числом, поэтому временную зависимость электрического вектора можно записать в следующем виде:

$$\tilde{\mathbf{E}}(t) = \tilde{E}_\varphi(t) + i\tilde{E}_\vartheta(t) = \sqrt{2} (|E_\varphi| \cos(\alpha_\varphi + \omega t) + i|E_\vartheta| \cos(\alpha_\vartheta + \omega t)) \quad (2-2)$$

(Следует заметить, что комплексные числа в этой записи и в комплексных амплитудах имеют разный физический смысл - аргумент комплексного числа в записи (2-2) определяет пространственное положение вектора, тогда как в комплексной амплитуде временную фазу.) Выразим в (2-2) косинусы через экспоненты по формуле Эйлера: $\cos \alpha = (e^{i\alpha} + e^{-i\alpha})/2$, и соберём подобные члены при экспонентах:

$$\tilde{\mathbf{E}}(t) = \frac{1}{\sqrt{2}} (E_\varphi + iE_\vartheta) e^{i\omega t} + \frac{1}{\sqrt{2}} (E_\varphi - iE_\vartheta)^* e^{-i\omega t}. \quad (2-3)$$

(Звёздочка у скобки обозначает комплексное сопряжение содержимого скобки.) Мы получили представление электрического вектора в некотором направлении излучения в виде суммы двух векторов, вращающихся с одинаковой круговой частотой, но в разные

стороны. Экспоненты определяют вращающиеся единичные векторы, а множители перед ними дают длину и начальное положение слагаемых векторов. Вектор, соответствующий первому слагаемому с течением времени вращается по часовой стрелке, если смотреть в направлении от источника в сторону бесконечности, и определяет поле правой круговой поляризации. Второе слагаемое соответствует вектору, вращающемуся против часовой стрелки, и отвечает левой круговой поляризации. Сумма двух вращающихся в противоположном направлении векторов определяет эллипс поляризации (рис.2.1). Большая ось эллипса соответствует моменту времени, когда направления вращающихся векторов совпадают, а малая – когда они противоположны.

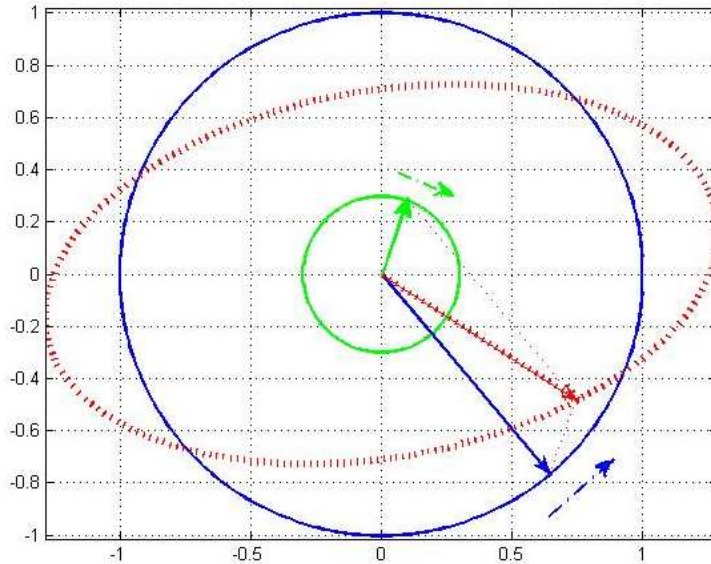


Рис. 2.1. Эллипс поляризации, образованный суммой волн круговой поляризации правого и левого направления вращения

Множители при экспонентах в (2-3) выражают комплексные амплитуды правой и левой круговых поляризаций через комплексные амплитуды декартовых составляющих:

$$E_r = \frac{1}{\sqrt{2}}(E_\phi + iE_\theta); E_l = \frac{1}{\sqrt{2}}(E_\phi - iE_\theta) \quad (2-4)$$

На рис. 2.1 видно, что большая полуось эллипса равна сумме длин векторов E_r и E_l , малая – разности, а коэффициент эллиптичности, как отношение полуосей эллипса, может быть выражен формулой:

$$k_{el} = \frac{|E_r| - |E_l|}{|E_r| + |E_l|} \quad (2-5)$$

Обращаясь рис. 2.1 и формулам (2-3) и (2-4), найдём α - направление большой оси эллипса поляризации. Для этого представим комплексные амплитуды E_r и E_l в экспоненциальной форме:

$$E_r = |E_r|e^{i\alpha_r}; E_l = |E_l|e^{i\alpha_l}$$

Углы α_r и α_l соответствуют угловому положению векторов на рис. 2.1 в начальный момент времени $t = 0$. Направление α большой оси эллипса соответствует совпадению направлений векторов, вращающихся в противоположные стороны. Приравнивание углов поворота приводит к уравнениям:

$$\begin{aligned} \alpha &= \alpha_r + \omega t; \\ \alpha &= -\alpha_l - \omega t; \end{aligned} \quad (2-6)$$

Складывая уравнения, получим угол наклона большой оси эллипса:

$$\alpha = (\alpha_r - \alpha_l)/2 \quad (2-7)$$

Мы выяснили, как найти ориентацию и форму эллипса поляризации, зная коэффициенты разложения комплексной амплитуды вектора электрического поля $E_{\vartheta}(\vartheta, \varphi)$, $E_{\varphi}(\vartheta, \varphi)$ по ортам сферической системы координат. А можно ли этот эллипс «увидеть» в процессе эксперимента? Известны несколько способов измерения поляризационной характеристики. В одном из этих способов измерение осуществляется при приёме сигнала излучения на вращающийся диполь, или другую антенну линейной поляризации. Ось вращения совпадает с направлением излучения, в котором мы хотим узнать поляризационную характеристику. Измерительная установка показана на рис.2.2.

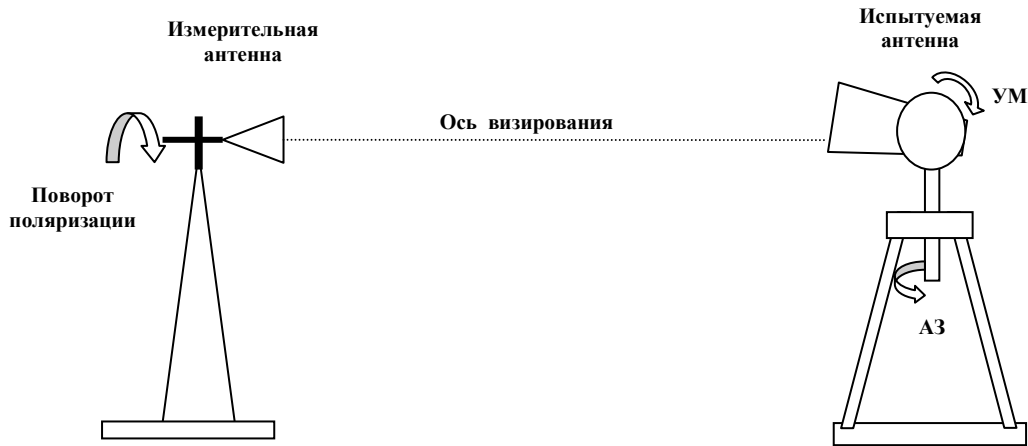


Рис.2.2. Измерительная установка для измерения диаграмм направленности антенны и поляризационных характеристик

Как же будет меняться сигнал в процессе вращения измерительной антенны линейной поляризации? Получим ли мы эллипс, откладывая амплитуду принимаемого сигнала в зависимости от угла поворота?

Пусть большая ось эллипса ориентирована горизонтально. Уравнение эллипса с полуосями a и b в декартовых координатах имеет вид:

$$\frac{x^2}{a^2} + \frac{y^2}{b^2} = 1; \quad (2-8)$$

Выразим X и Y через радиальную координату, зависящую от угла поворота φ и пропорциональную силе сигнала, и подставим эти выражения в уравнение (2-8)

$$x = r \cos \varphi; y = r \sin \varphi; \Rightarrow r^2 \left(\frac{\cos^2 \varphi}{a^2} + \frac{\sin^2 \varphi}{b^2} \right) = 1; \quad (2-9)$$

$$r = \frac{1}{\sqrt{\frac{\cos^2 \varphi}{a^2} + \frac{\sin^2 \varphi}{b^2}}};$$

Получили уравнение эллипса в полярных координатах (рис.2.3). А какую же зависимость мы получим при измерении на установке рис. 2.2?

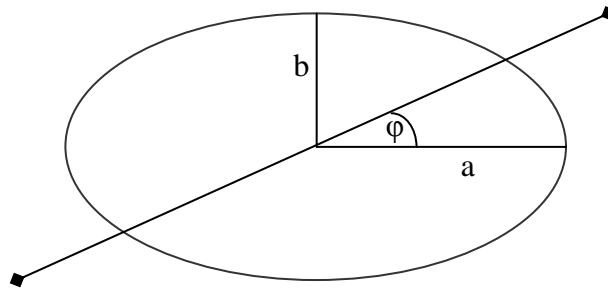


Рис. 2.3. Эллипс поляризации

Сигналы вдоль малой и большой осей эллипса сдвинуты по фазе на $\pi/2$. Полный комплексный сигнал, который наводится в повернутом положении измерительной антенны, пропорционален

$$U = a \cos \varphi + i b \sin \varphi \quad (2-10)$$

Амплитуда этого сигнала определяется выражением:

$$|U| = \sqrt{(a \cos \varphi)^2 + (b \sin \varphi)^2} \quad (2-11)$$

которое отличается от выражения эллипса в полярных координатах. (2-9). График выражения (1-27) имеет вид «гантельной» кривой, показанной на рис. 2.4. На этом же рисунке показан соответствующий эллипс. График экспериментальной поляризационной характеристики часто называют «поляризационной диаграммой».

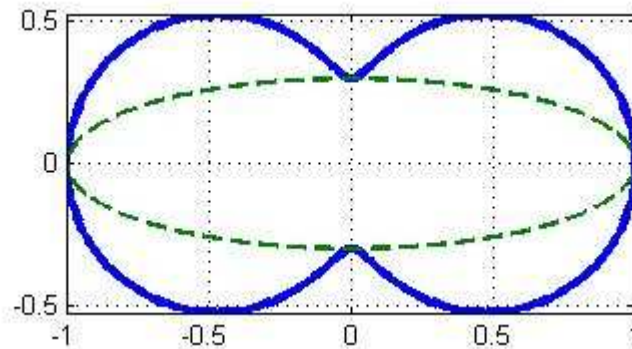


Рис. 2.4. Поляризационная диаграмма и эллипс поляризации

2.2 Магнитный диполь

Продолжим рассмотрение примеров вывода выражений полей излучения в дальней зоне. Для получения выражений поля излучения **магнитного диполя** ещё раз воспользуемся свойством симметрии (двойственности) уравнений Максвелла. Выполним замены (1-17) в выражениях поля электрического диполя Герца (1-5) и (1-9_а). Получим поле излучения магнитного диполя, ориентированного вдоль оси Z

$$\mathbf{E} = -\sin \vartheta e_{\varphi} C^m \frac{e^{-ikR}}{R}; \quad \mathbf{H} = \sin \vartheta e_{\varphi} W_0^{-1} C^m \frac{e^{-ikR}}{R}; \quad (2-12)$$

Мы заменили также выражение коэффициента $C^e = i \frac{I^e k l^e}{4\pi}$ на $C^m = i \frac{I^m k l^m}{4\pi}$, в котором поменяли индекс e на m и воспользовались соотношениями двойственности (1-17). В этих формулах универсальное соотношение между электрическим и магнитным полем в дальней зоне имеет следующий вид:

$$\frac{E_{\varphi}}{H_{\vartheta}} = -W_0; \quad (2-13)$$

Для магнитного диполя плоскостями **H** являются все плоскости, проходящие через ось магнитного диполя, а плоскостью **E** – плоскость, ортогональная диполю.

Упражнение 2.1 Вычислить КНД электрического и магнитного диполей, исходя из выражений поля излучения (1-9а) и (2-12).

2.3 Точное выражение для поля произвольно ориентированного магнитного диполя.

$$\mathbf{H} = \frac{1}{W_0} I^m (kl^m) \frac{i}{4\pi} \frac{e^{-ikR}}{R} \cdot$$

$$\left\{ \left[\left[\mathbf{e}_I^m, \mathbf{e}_R \right], \mathbf{e}_R \right] \left(1 + \frac{1}{ikR} + \frac{1}{(ikR)^2} \right) + \left(\mathbf{e}_I^m, \mathbf{e}_R \right) \mathbf{e}_R \frac{2}{ikR} \left(1 + \frac{1}{ikR} \right) \right\}$$

$$\mathbf{E} = -I^m (kl^m) \left[\mathbf{e}_I^m, \mathbf{e}_R \right] \frac{i}{4\pi} \frac{e^{-ikR}}{R} \left(1 + \frac{1}{ikR} \right)$$

2.3 Турникетная антенна

В качестве следующего примера получим поле излучения **турникетной антенны**, состоящей из двух элементарных электрических диполей, ориентированных вдоль осей X и Y, и запитанных во временной квадратуре. Положим в формулах (1-5)

$$\mathbf{e}_{I1} = \mathbf{e}_x; \quad \mathbf{e}_{I2} = \mathbf{e}_y; \quad I_2 = iI_1; \quad (2-14)$$

Разложим единичные векторы $\mathbf{e}_x, \mathbf{e}_y$ по ортам сферической системы координат, воспользовавшись таблицей (1-8), и вычислим с помощью этих разложений векторные произведения, входящие в формулы (1-5):

$$\begin{aligned} \mathbf{e}_x &= \sin \vartheta \cos \varphi \mathbf{e}_R + \cos \vartheta \cos \varphi \mathbf{e}_\vartheta - \sin \varphi \mathbf{e}_\varphi; \\ \mathbf{e}_y &= \sin \vartheta \sin \varphi \mathbf{e}_R + \cos \vartheta \sin \varphi \mathbf{e}_\vartheta + \cos \varphi \mathbf{e}_\varphi; \\ \left[\mathbf{e}_{I1}, \mathbf{e}_R \right] &= -\cos \vartheta \cos \varphi \mathbf{e}_\varphi - \sin \varphi \mathbf{e}_\vartheta \left\{ 1 \right. \\ \left[\mathbf{e}_{I2}, \mathbf{e}_R \right] &= -\cos \vartheta \sin \varphi \mathbf{e}_\varphi + \cos \varphi \mathbf{e}_\vartheta \left. \right\} i \end{aligned} \quad (2-15)$$

В результате получим:

$$\mathbf{H} = \left(-\cos \vartheta \mathbf{e}_\varphi + i \mathbf{e}_\vartheta \right) e^{i\varphi} W_0^{-1} C \frac{e^{-ikR}}{R}; \quad (2-16)$$

$$\mathbf{E} = \left(-\cos \vartheta \mathbf{e}_\vartheta - i \mathbf{e}_\varphi \right) e^{i\varphi} C \frac{e^{-ikR}}{R}; \quad C = i \frac{Ikl}{4\pi}$$

Нетрудно проверить, что между электрическим полем и магнитным выполняются те же соотношения, что и в предыдущих примерах:

$$\frac{E_\vartheta}{H_\varphi} = -\frac{E_\varphi}{H_\vartheta} = W_0; \quad (2-17)$$

Упражнение 2.2 Вычислить КНД турникетной антенны, исходя из выражений поля излучения (2-16).

Поляризационная характеристика определяется соотношением между коэффициентами $E_\vartheta(\vartheta, \varphi), E_\varphi(\vartheta, \varphi)$ при ортах сферической системы координат. В выражениях (2-16) соотношение коэффициентов при ортах зависит от угла θ . При $\theta = \pi/2$ коэффициент при \mathbf{e}_ϑ в формуле для электрического поля обращается в нуль.

Следовательно, поляризация при $\theta = \pi/2$ линейная, совпадающая с направлением вектора e_ϕ (см. рис. 1-13). При $\theta = 0$ и $\theta = \pi$ коэффициенты при ортах равны по величине и сдвинуты по фазе на $\pi/2$. В этих направлениях поляризация круговая. При выбранной фазировке диполей турникетной антенны она линейно поляризована только в плоскости $\theta = \pi/2$, проходящей через диполи. Это её плоскость **Е**. Плоскости **Н** у этой антенны нет.

2.4. Элемент Гюйгенса линейной поляризации

Элемент Гюйгенса линейной поляризации - элементарный источник однонаправленного излучения, образован ортогональными, синфазными электрическим и магнитным диполями. Осью элемента Гюйгенса является направление однонаправленного излучения, которое ортогонально плоскости, проходящей через диполи, составляющие элемент Гюйгенса (рис.2.5). Пусть электрический диполь ориентирован вдоль оси Y, а магнитный диполь вдоль оси X. Электрический ток обозначим I^e , будем считать, что магнитный ток в элементе Гюйгенса определяется соотношением $I^m = -W_0 I^e$, где W_0 - волновое сопротивление свободного пространства. Будем также считать, что длины диполей одинаковы и равны l .

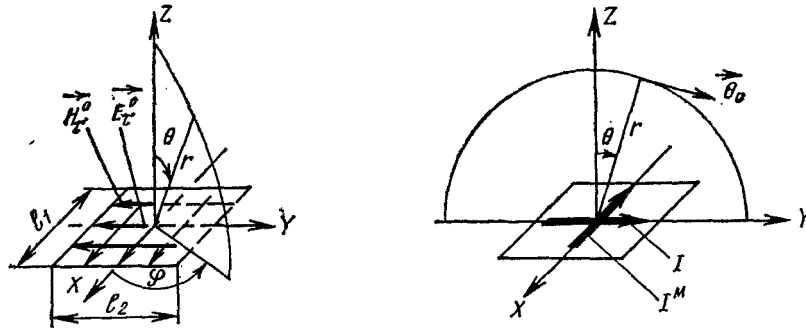


Рис. 2.5. Элемент Гюйгенса

Воспользуемся соотношениями для поля электрического диполя:

$$\mathbf{H} = C^e [\mathbf{e}_I^e, \mathbf{e}_R] \frac{e^{-ikR}}{R}; \quad \mathbf{E} = W_0 [\mathbf{H}, \mathbf{e}_R]; \quad C^e = i \frac{I^e k l^e}{4\pi} \quad (2-18)$$

Выпишем соответствующие формулы для магнитного диполя, используя соотношения симметрии для уравнений Максвелла:

$$-\mathbf{E} = C^m [\mathbf{e}_I^m, \mathbf{e}_R] \frac{e^{-ikR}}{R}; \quad \mathbf{H} = W_0 [-\mathbf{E}, \mathbf{e}_R]; \quad C^m = i \frac{I^m k l^m}{4\pi} \quad (2-19)$$

Ограничимся вычислением суммарного электрического поля, выполнив в его выражениях подстановки, согласно (2-18) и (2-19):

$$\mathbf{E} = \left(W_0 I^e k l^e [\mathbf{e}_I^e, \mathbf{e}_R] - I^m k l^m [\mathbf{e}_I^m, \mathbf{e}_R] \right) \frac{i}{4\pi} \frac{e^{-ikR}}{R}; \quad (2-20)$$

В выражении (2-20) сделаем подстановки в соответствии с исходными положениями для элемента Гюйгенса:

$$\mathbf{E} = \left([\mathbf{e}_y, \mathbf{e}_R] + [\mathbf{e}_x, \mathbf{e}_R] \right) \frac{i W_0 I k l e^{-ikR}}{4\pi R}; \quad (2-21)$$

Вычислим векторные произведения в (2-21), воспользовавшись разложением ортов \mathbf{e}_x и \mathbf{e}_y по ортам сферической системы координат, с помощью соотношений (1-8):

$$\begin{aligned} \mathbf{e}_x &= \sin \vartheta \cos \phi \mathbf{e}_R + \cos \vartheta \cos \phi \mathbf{e}_\vartheta - \sin \phi \mathbf{e}_\phi; \\ \mathbf{e}_y &= \sin \vartheta \sin \phi \mathbf{e}_R + \cos \vartheta \sin \phi \mathbf{e}_\vartheta + \cos \phi \mathbf{e}_\phi; \end{aligned} \quad (2-22)$$

В итоге получим:

$$\mathbf{E} = -i \frac{W_0 I k l}{4\pi} \frac{e^{-ikR_0}}{R_0} (1 + \cos \vartheta) (\sin \varphi \mathbf{e}_\vartheta + \cos \varphi \mathbf{e}_\varphi); \quad (2-23)$$

Заметим, что выражение в последней скобке в формуле (2-23) соответствует единичному вектору, который поворачивается при изменении угла φ . Амплитудная диаграмма направленности от угла φ не зависит, нормированная амплитудная диаграмма выражается формулой $(1 - \cos \vartheta)/2$ и в полярных координатах изображается кардиоидой (рис. 2.6).

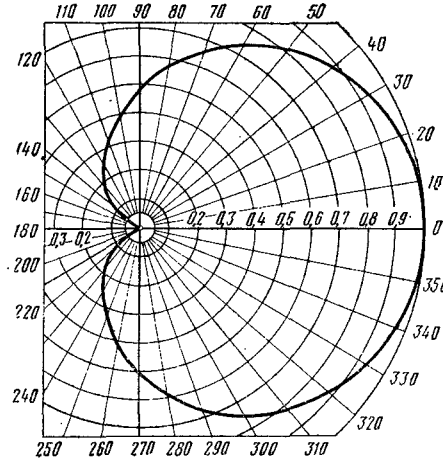


Рис. 2.6. Диаграмма направленности элемента Гюйгенса

У рассмотренного элемента Гюйгенса имеется единственная плоскость \mathbf{E} , проходящая через электрический диполь и ось элемента, а также единственная плоскость \mathbf{H} , проходящая через магнитный диполь и ось элемента Гюйгенса.

$$КНД = \frac{\max(|F(\vartheta, \varphi)|^2)}{\frac{1}{4\pi} \int_0^{2\pi} d\varphi \int_0^\pi |F(\vartheta, \varphi)|^2 \sin \vartheta d\vartheta} = \frac{4}{\frac{1}{2} \int_0^\pi (1 + \cos \vartheta)^2 \sin \vartheta d\vartheta} = 3$$

2.5 Элементарный диполь круговой поляризации

Элементарный диполь круговой поляризации состоит из двух, расположенных в одной точке, параллельных диполей, электрического и магнитного. Пусть диполи ориентированы вдоль оси Z . Параметры диполей определяются формулами (2-24).

$$\mathbf{I}^e = I \mathbf{e}_z; \quad \mathbf{I}^m = i I W_0 \mathbf{e}_z; \quad l^e = l^m = l; \quad (2-24)$$

Подставим эти значения в формулу (2-20). В результате получим, после разложения вектора \mathbf{e}_z по ортам сферической системы координат и вычисления векторных произведений:

$$\mathbf{E} = \frac{W_0 I k l}{4\pi} \frac{e^{-ikR_0}}{R_0} \sin \vartheta (\mathbf{e}_\varphi + i \mathbf{e}_\vartheta); \quad (2-25)$$

Амплитудная диаграмма направленности такая же, как у элементарных электрического и магнитного диполей. Поляризационный коэффициент $(\mathbf{e}_\varphi + i \mathbf{e}_\vartheta)$ определяет волну левой круговой поляризации в любом направлении. У диполя круговой поляризации нет плоскостей \mathbf{E} и \mathbf{H} .